

II-7 低平地流域の流出計算（合流部のある場合）

名古屋大学 学生員。鐵田 重和
学生員 M.S.イスラムカーン
正員 高木不折

1. 緒言 低平地流出問題を取り扱う場合、一般には集中定数系すなむち、低平地流域全体を1つのタニクに置換させたタンクモデル、貯留量へ流出量関係を用いた貯留関数法などが主流である。しかし流域内部での水理学的特性を明確に把握することができない。本報告では、既報表^{1), 2)}の单一斜面、水路を一体とした单一流出系を拡張させ、特に河道部分で合流を含む場合に注目し、同一流域での河道網配列が流出にどのような影響を及ぼすかを検討した。また、計算手法としてはback waterの効果を考えることが出来たようTwo-step L.W法を用いた。基礎方程式は、合流を含むため実流域への変換にある程度制限を受けるが、議論は一般的な形で扱いうるよう無次元量で扱った。

2. 基礎方程式 いま図-1のようすを单一斜面、水路を一体とした单一流出系を組合せたモデルを考へる。この水路について、連続式、運動方程式を示すと

$$\frac{\partial h_i}{\partial t} + \frac{\partial (uh)_i}{\partial x_i} = \frac{g_i}{b_i} \quad (1)$$

$$\frac{\partial u_i}{\partial t} + u_i \frac{\partial u_i}{\partial x_i} = g \left(i_i - \frac{\partial h_i}{\partial x_i} \right) - g \frac{m_i^2 u_i^2}{b_i^{1/2}} \quad (2)$$

となり、適当な基準量 x_i, t, h_i, u_i, g_i に対する上式を無次元化し、それと他の無次元量 X, T, H, U, Q とすると、次の無次元式をうる。

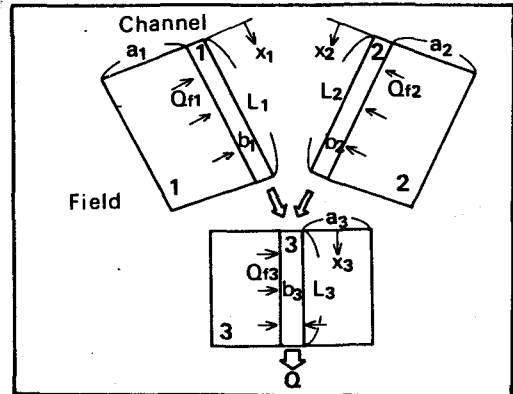


図-1 モデル概要図

$$\frac{\partial H_i}{\partial T} + \frac{\partial (UH)_i}{\partial X_i} = \theta_i Q_{fi} \quad (3) \quad \frac{\partial U_i}{\partial T} + U_i \frac{\partial U_i}{\partial X_i} + \varepsilon_i \frac{\partial H_i}{\partial X_i} = \varepsilon_i I_i - \lambda_i \frac{\partial U_i^2}{\partial H_i^{1/2}} \quad (4)$$

ここで、添字 i は水路 1, 2, 3 を示す。時間の基準量は各水路とも同一にするため T を 1 とし、また、 λ_i を 1 と選べば、式③、④中のパラメーターは次のように与えられる。

$$\varepsilon_i = \left(\frac{m_i}{m_3} \right)^{1/4} \left(\frac{l_i}{l_3} \right)^{1/4} \quad I_i = \frac{l_i}{(g \cdot m_i^2 \cdot l_i)^{1/4}} \quad \theta_i = \frac{a_i r l_i^{5/4}}{b_i g^{1/2} (m_i^2 l_i m_3)^{1/4}} \quad (5)$$

式⑤の右辺で Q_{fi} については既報表^{1), 2)}の結果より、field における貯留量と $S_i = K_i Q_i^P$ の関係にあるものとし $K_i = (1/\varepsilon_i^m)$ 、 ε_i は field の特性で決まるパラメーター、 $m = 0.233$ 、 $P = 0.5$ である。

3. 合流部の計算手法 河道部において、合流点を含む場合、各河川の相互作用、すなむち背上げの効果がどの程度であるかを把握することはむつがしいので、一応念頭に置いておく必要がある。

本モデルでは、河道部において、初期水位、流速がない場合を差えていふため、運動方程式の適応が困難である。そこで③式の連続方程式を図-2のどうぶくス型の差分形に書き、節点 j, k

での水位と流量の条件は次のようになります。

$$h_i^* H_i = h_2^* H_2 - h_3^* H_3$$

$$Q_i^* Q_i + Q_2^* Q_2 = Q_3^* Q_3$$

以上、③式の連続方程式と④、⑦式の条件より、合流地点の水位、流量が求まる。

4. 初期・及び境界条件

初期 $T=0$: $U_i = 0, H_i = 0 \quad (i=1, 2, 3)$

境界 $X_{1,2} = 0$: $U_{1,2} = 0$, または $\partial H_{ij} / \partial X_{1,2} = 0$

$X_3 = L_3$: $U_3 = C\sqrt{E_3 H_3}$

5. 計算結果 図-3、4のハイドログラフでは、降雨を一定とし、流出量は流域面積 A と降雨強度 R の積で割った無次元流量である。時間は降雨継続時間から無次元化した値である。また、河道配置を図中に示した。このように、河道に流入する斜面長が全体的に長い方が短かい場合に比べて、ハイドログラフの立ち上がり部がゆるやかで、雨が降り終るとゆっくりとして減衰曲線を描く。図-3のケースAとDを比較すると、斜面長が同一であるような場合には、合流点を含む方が流出が遅く、合流による干渉効果が現めている。このことは図-4のケースGとHを見ても同じことがいえる。また、流出流量には降雨継続時間が問題となるが、ケースHとEを見てもわかるように河道配列を変えることによりピーク流量を大きく減少させることも可能となる。図-5の破線は、河道を無視した場合であり、各斜面からの流出を単に加算したものである。例としてケースA,D,EとE。A,Dは斜面長が同一であり、斜面からの流出ハイドログラフは一致する。この場合、破線と実線の相違が河道の持つ貯留力であり、河道が流出に大きな役割を果すことが理解できる。

6.まとめ ここでは主として河道配列が流出に及ぼす効果を示したが、今後何等地での排水計画を行なう場合、流域の大ささの外でボンディング容量を決定するのではなく、河道配列を考慮しなければならない。

(参考文献) ①鐵道技術小委員会: 中部支那年譜 昭53 PP 231~232

②伊藤和也, 織田高木: 第33回土木学会年譜 昭53 PP 75~96

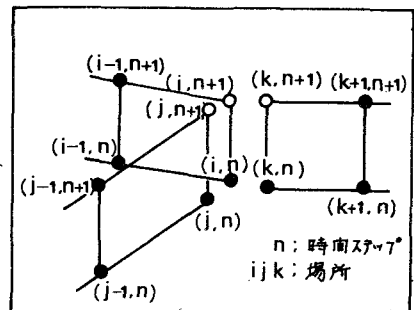


図-2 ボックススキーム

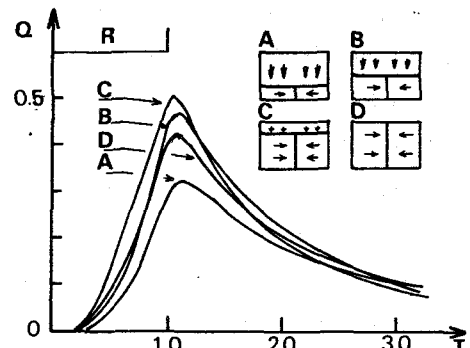


図-3 ハイドログラフ

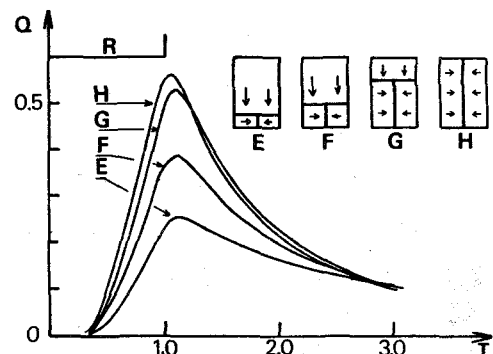


図-4 ハイドログラフ

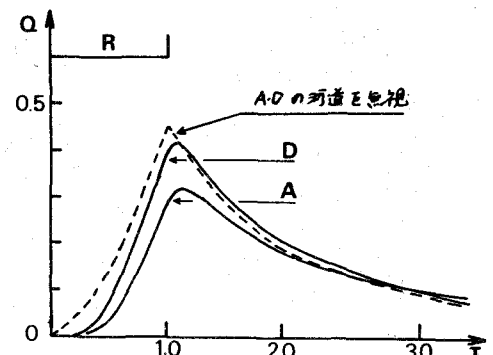


図-5 ハイドログラフ